

# 斜め入射波に対するカーテン防波堤の消波効果について

愛媛大学工学部 正会員 中村孝平  
 (株) 熊谷組 正会員 ○森田知志  
 愛媛大学大学院 学生員 小野正順

1. まえがき: 直角入射を想定した場合のカーテン防波堤の消波効果に関する研究は、著者らの中の一人<sup>1)</sup>を含め数多くの研究者によりなされてきた。そして、その消波効果は堤体のきっ水と波の周期により大きく左右されることなどが明らかにされている。これに引き続き本研究は、消波効果に及ぼす波の入射角の効果に着目するもので、斜め入射波を受けるカーテン防波堤よりの反射波および透過波の特性を直角入射の場合との比較の上で明らかにしようとするものである。

2. 実験装置および実験方法: 実験に用いた水槽は図-1に示す愛媛大学農業部の長さ15m, 幅20m, 高さ1mの平面水槽である。この水槽の一端にはプランジャー型の造波機があり、他端となる側の側壁には碎石による消波工が設置してある。模型堤体には厚さ1.2cm, 高さ50cm, 長さ2mのベニヤ板を5枚使用した。模型堤体は図-1に示すように水槽の幅を全域にわたって遮へいすように設置し、堤体の端部から回り波が透過波側へ進入しないよう注意した。また波の入射角θの変更は堤体を回転移動せしめて行った。堤体のきっ水

dは12.5cm, 水深d<sub>0</sub>は35cmと各々一定とし、θは0°から60°までの5種類を採用した。作用せしめた波の周期Tは0.63~1.27secの範囲の5種類であり、波高Hはほぼ4cmとなるようとした。入射波と反射波の測定は堤体の反射波側に設置した2台の波高計を用いて合田ら<sup>2)</sup>の入・反射波の分離推定法に基づく方法で行なったが、その際の分離式には各々の波向を考慮して導いた式(1), (2)を用いた。ここで、 $\lambda = k \cos(\theta) \ell$ ,  $\Delta \ell$ : 波高計の間隔,  $A_I$ : 分離された入射波の振幅,  $A_R$ : 分離された反射波の振幅である。また  $A_I = \sqrt{[B_2 - B_1 \cos(\lambda \ell)]^2 + [A_1 \sin(\lambda \ell)]^2}$ ,  $A_R = \sqrt{[B_2 - B_1 \cos(\lambda \ell)]^2 + [A_2 - A_1 \cos(\lambda \ell) - B_1 \sin(\lambda \ell)]^2}$

$$(1) \quad A_I = \frac{\sqrt{[B_2 - B_1 \cos(\lambda \ell)]^2 + [A_1 \sin(\lambda \ell)]^2} + \sqrt{[A_2 - A_1 \cos(\lambda \ell) - B_1 \sin(\lambda \ell)]^2}}{2\sqrt{1 - \cos(\lambda \ell + \lambda \ell \cos 2\theta)}} \quad (1)$$

$$(2) \quad A_R = \frac{\sqrt{[B_2 - B_1 \cos(\lambda \ell)]^2 + [A_1 \sin(\lambda \ell)]^2} + \sqrt{[A_2 - A_1 \cos(\lambda \ell) + B_1 \sin(\lambda \ell)]^2}}{2\sqrt{1 - \cos(\lambda \ell + \lambda \ell \cos 2\theta)}} \quad (2)$$

Fourier  $\cos$  および  $\sin$  成分波の振幅である。反射率  $C_R$  と透過程率  $C_T$  は式(1), (2)による  $A_I$ ,  $A_R$  および堤体の透過程側で測定した波の振幅  $a_T$  を用いて  $C_R = A_R/a_T$ ,  $C_T = a_T/A_I$  により求めた。

3. 解析法: 本研究で用いた解析法は2次元波動場のグリーン関数を用いたわき出し分布法に基づく方法で、斜め入射波を考慮できるように新たに開発したものである。なお解析法の詳細は概要集に別に発表しており、ここでの記述は省略したい。

4.  $C_R$ ,  $C_T$  の実験結果と算定結果との比較  
(1) 周期による変化

図-2, 3は各々入射角θ=0°と45°の場合のCRとCTを、横軸にd/L<sub>0</sub>。

図-2 CR, CTのd/L<sub>0</sub>による変化(θ=0°)

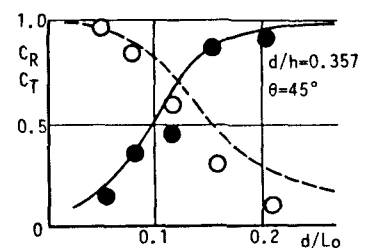
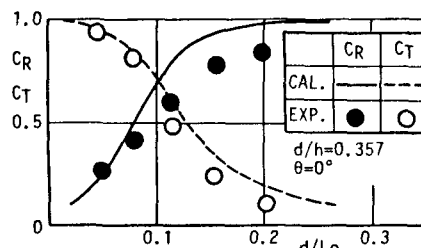


図-3 CR, CTのd/L<sub>0</sub>による変化(θ=45°)

すものである。これらの図から $C_R$ は波が長周期になるにつれて減少するのに対し $C_T$ は逆に増加するなど、波の周期により大きく変動しているのが確認される。そして、こうした変動傾向は波の入射角 $\theta$ が $45^\circ$ と変化しても同様であることがわかる。そして実験結果と算定結果とは、このよう $d/h_0$ による変動傾向を含めほぼ一致していることが認められる。

(2)入射角による変化: 図-4~6は $C_R, C_T$ の結果を再整理して、横軸に入射角 $\theta$ をとり示すものである。そして図-4から図-6へは、 $d/h_0$ が増大して短周期波側へと変化する場合の結果を示す。これらの図から $d/h_0$ の値にかかわらず $C_R$ と $C_T$ の実験結果と算定結果はほぼ一致していることや、 $\theta$ の増加に伴ない $C_R$ は減少し $C_T$ は増加する変動傾向を示すことがわかる。しかしながら、この傾向は $\theta$ が小さい時にはあまり顕著なものとはいえず、ほぼ $\theta < 45^\circ$ の範囲内では $\theta = 0^\circ$ の直角入射の場合と大差は認められない。したがって $\theta < 45^\circ$ の条件下での $C_R, C_T$ たは直角入射の場合の結果が代用できるものと考えられる。一方 $\theta > 45^\circ$ では、特に短周期波側の条件下において $C_R$ と $C_T$ は $\theta$ の影響を大きく受けようになり、斜め入射波の効果を考慮できる解析法を用いた予測が是非必要となるものと言えよう。

5. 堤体の反射波側での波面のパターン: 図-7は3.で述べた解析法による堤体の反射波側での波の位相の算定結果の平面分布であり、一例として $\theta = 30^\circ$ の場合を示す。この図にみられるような、斜め入射波を受ける堤体の反射波側での複雑な波面パターンの出現は実験においても全く同様に確認されており、単に反射率のみでは表わされない現象であることから防波堤の設置計画等においては十分注意する必要があるものと言える。

6. 結語: 斜め入射波に対するカーテン防波堤まわりの波浪変形は、入射角 $\theta$ の増加に伴ない反射率は減少し透過率は増大する傾向にあることがわかった。しかし、この傾向は $\theta$ が $45^\circ$ までの範囲内では顕著なものではなく、直角入射の場合の結果の適用が可能であることが判明した。なお、本研究の実験を行なうにあたり平面水槽の使用を快く承認してください、た愛媛大学農学部 大橋行三教授に深く感謝する次第である。

(参考文献) 1) 中村孝幸, “カーテンウォール型防波堤まわりの波変形と作用波力に関する研究”, 第31回海岸工学講演会論文集, pp.512~516, 1984. 2) 合田良実, 鈴木康正, 菊地治, “不規則波実験における入反射波の位相推定法”, 港湾技術研究所報告, No.248, pp.1~24, 1976.

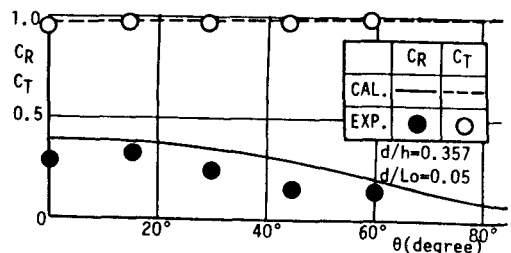


図-4  $C_R, C_T$  の  $\theta$  による変化 ( $d/Lo = 0.05$ )

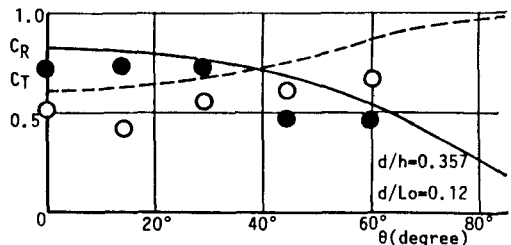


図-5  $C_R, C_T$  の  $\theta$  による変化 ( $d/Lo = 0.12$ )

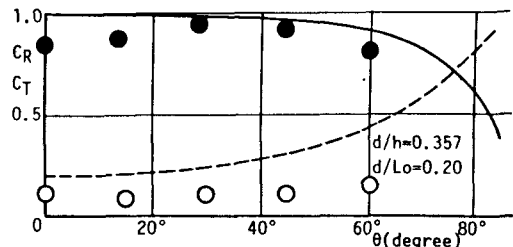


図-6  $C_R, C_T$  の  $\theta$  による変化 ( $d/Lo = 0.20$ )

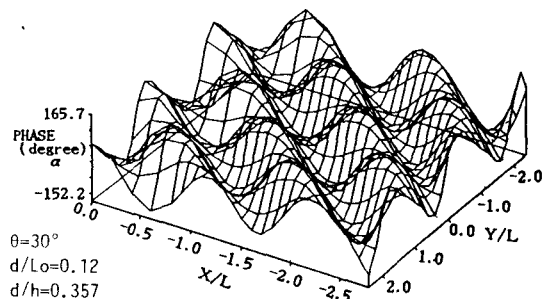


図-7 堤体の反射波側での波の位相の平面分布